

О ВЫБОРЕ ЭЛЕМЕНТА-ЛИДЕРА ПРИ ПОВЕРХНОСТНОМ КОНТАКТНОМ ЛЕГИРОВАНИИ СПЛАВОВ НА ОСНОВЕ АЛЮМИНИЯ И МЕДИ ИЗ РАСПЛАВОВ ТЯЖЕЛЫХ ЛЕГКОПЛАВКИХ МЕТАЛЛОВ

Ю. С. Авраамов, В. И. Кошкин, И. А. Кравченкова,
А. Н. Кравченков, А. Д. Шляпин

В статье рассмотрена физическая модель действия элемента-лидера в процессе поверхностного контактного легирования из двухкомпонентных расплавов. Приведено новое экспериментальное подтверждение этой модели на примере системы сплав Д16 – расплав олово-цинк. Показано, что данная модель действия элемента-лидера не применима в отношении цинка для меди. Контактное легирование из трехкомпонентного расплава (в частности, из расплава свинец-цинк-олово) нуждается в уточнении модели.

Ключевые слова: сплав, твердо-жидкофазное превращение, диффузия, контактное легирование.

Введение

Создание новых антифрикционных материалов с улучшенными свойствами является одной из актуальных задач современного материаловедения. Значительный прогресс в решении этой задачи был достигнут благодаря разработке метода поверхностного контактного легирования (КЛ) сплавов на основе алюминия и меди тяжелыми легкоплавкими компонентами из их расплава с помощью специальных добавок, названных элементами-лидерами [1]. Продолжение исследований в данном направлении показало, что расширение номенклатуры новых антифрикционных материалов требует уточнения механизма процессов контактного легирования и, в частности, обоснованного выбора элемента-лидера.

В данной работе обсуждается механизм контактного легирования и его применимость на

примере сплавов систем Al-Cu-Zn-Sn и Fe-Cu-Zn-Pb.

Модель контактного легирования

В монографии [1], обобщающей результаты многолетних исследований твердо-жидкофазных взаимодействий в системах компонентов с ограниченной взаимной растворимостью в жидком состоянии, приводится схема (рис. 1), иллюстрирующая выбор элемента-лидера для контактного легирования сплавов на основе алюминия и меди.

На рисунке 1 во втором столбце показаны элементы, которые могут являться элементами-лидерами для элементов третьего столбца.

Выбор элементов-лидеров базируется на простой физической модели опережающей диффузии лидера, достижения солидусных концен-

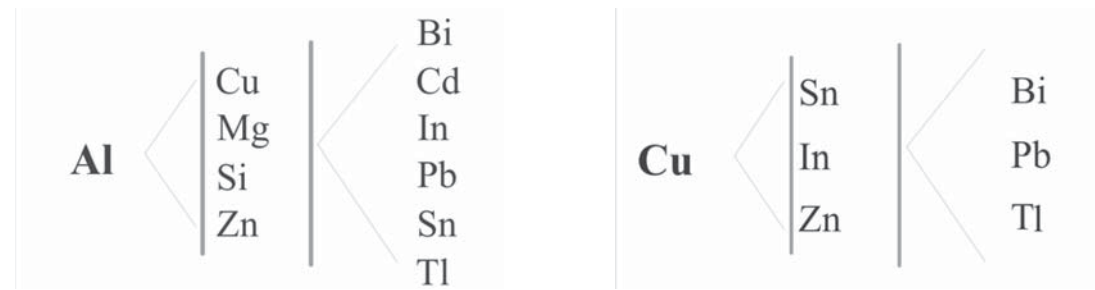


Рис. 1. Схема для выбора элементов-лидеров для легирования алюминия, меди и их сплавов различными легкоплавкими элементами

трай, локального оплавления легируемого металла или сплава и последующей миграции по жидким прослойкам основного легирующего элемента.

Пусть легируемым элементом является A , легирующим элементом – B и растворимость B в A пренебрежительно мала. В качестве элемента-лидера согласно этой модели выбирается элемент C , для которого необходимо равновесие системы $A-C$, и его фрагмент имеет вид, представленный на рис. 2.

Контактное легирование проводится при температуре $T = T_0$.

Выделим схематично один фрагмент контакта расплава $B-C$ с твердым легируемым металлом A (рис. 3, a).

Для удобства примем расстояние X_s на схеме (см. рис. 3) равным в условном масштабе предельной растворимости C в A при $T = T_0$.

На рисунке 3, b представлен начальный момент контактного легирования A элементом B с помощью элемента-лидера C , и в условном масштабе показано распределение элемента C в легируемом металле A через промежутки времени τ_1 , τ_2 , τ_3 .

По истечении времени τ_3 приповерхностная концентрация C в A достигает значения предельной растворимости X_s . При продолжении насыщения A элементом C в момент времени $\tau_3 + \Delta\tau$ в приповерхностной зоне A появят-

ся первые капли жидкой фазы состава X_L (см. рис. 3, c). Эти капли схематично изображены темными областями.

Продолжение насыщения A элементом C будет сопровождаться смещением кривой распределения элемента C вправо. При этом максимальное значение концентрации будет сохраняться на уровне X_s , а увеличение времени насыщения будет приводить к увеличению количества жидкости состава X_L .

На рисунке 3, c показана ситуация к моменту времени τ_3 , когда уже на расстоянии d от поверхности металла A установилась концентрация C , соответствующая предельной растворимости X_s .

За время τ_3 часть легирующего сплава на этом расстоянии полностью оплавилась и приняла концентрацию X_L , однако в результате интенсивного взаимодействия с основным расплавом B эта зона обогатилась элементом B , т.е. B проник в A на некоторое расстояние.

После продолжения процесса контактного легирования и охлаждения до комнатной температуры из расплава $A-B-C$ выделяются кристаллы B . Элементы A и C образуют твердый раствор. Эту область от исходного компонента A отделяют переходные области переменной растворимости C в A (рис. 3, c).

Экспериментальное подтверждение этой модели было получено при контактном легировании железо-медного сплава свинцом из свинцово-оловянного расплава и сплава Д16 свинцом из свинцово-магниевого расплава [2]. Соответствующие макро- и микроструктура показаны на рис. 4 и 5.

Новые элементы-лидеры

Для уточнения приведенной выше модели и расширения номенклатуры композиционных материалов, получаемых с помощью метода контактного легирования, были продолжены эксперименты в соответствии со схемой 1.

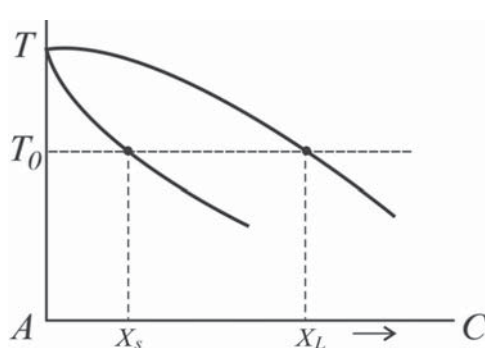


Рис. 2. Фрагмент диаграммы равновесия $A-C$

Были изучены возможности цинка в качестве элемента-лидера для легирования сплавов на основе алюминия и меди соответственно оловом из расплава олово-цинк и свинцом из расплава цинк-свинец.

Легирование сплава Д16 оловом из расплава олово-цинк проводили при 550 °C, легирование железо-медного сплава свинцом из расплава свинец-цинк – при 800 °C. В обоих случаях при указанных температурах легирование осуществлялось из однородного однофазного жидкого раствора.

Несмотря на сходство условий контактного легирования, в рассматриваемых случаях были

получены принципиально отличающиеся результаты.

Легирование сплава Д16 оловом привело к образованию ярко выраженной микроструктуры поверхности легированного слоя, где на фоне матрицы, представляющей собой твердый раствор меди и цинка в алюминии, видны прослойки олова со строчечными включениями интерметаллидов (рис. 6).

Легирование железо-медного сплава из расплава свинца с 15 масс.% цинка не приводит к миграции свинца в объем сплава. Более того, при температуре легирования 800 °C наблюдается интенсивное разрушение сплава железо-

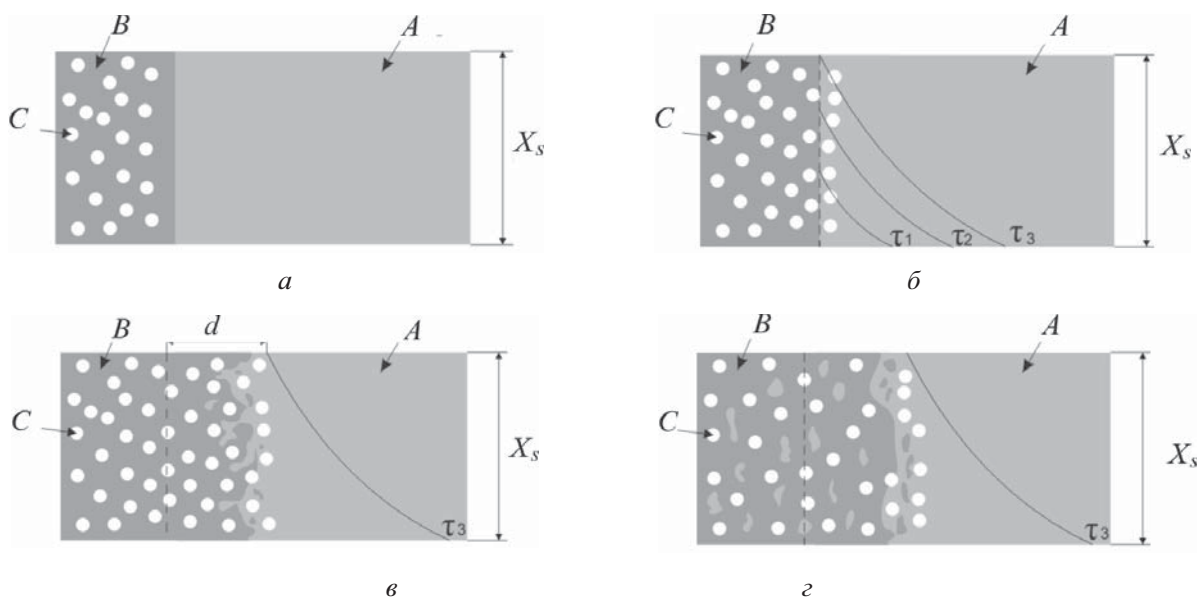


Рис. 3. Схема контактного легирования:

A – легируемый металл; B – расплав легирующего элемента;

C – элемент-лидер, растворенный в расплаве B;

а – перед процессом КЛ; б – изменение распределения элемента C в A с течением времени;

в – проникновение компонента B в объем A; г – схематическое изображение зоны КЛ по механизму элемента-лидера при комнатной температуре

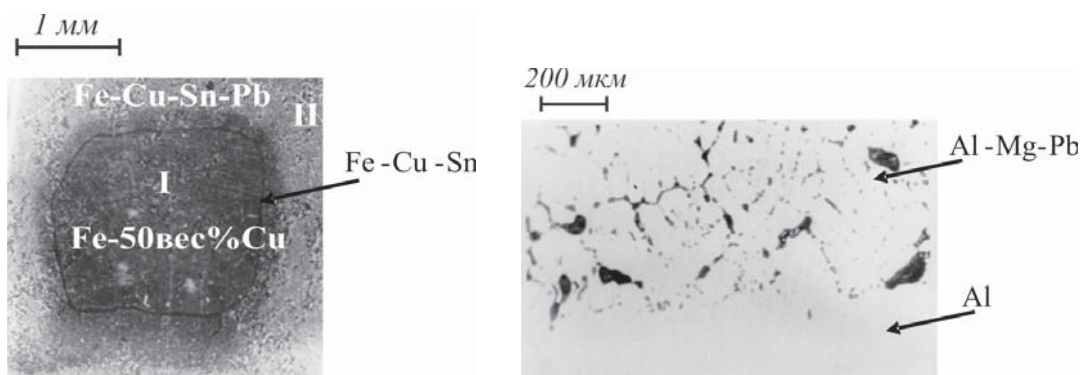


Рис. 4. Макроструктура образца сплава Fe-50% Cu, легированного свинцом при 600 °C (элемент-лидер – олово) 30 минут

Рис. 5. Микроструктура поверхностного слоя в алюминиевом сплаве, легированном свинцом с помощью элемента-лидера магния

медь (рис. 7). На рисунке 7 в расплаве свинца хорошо видны кристаллы железа и меди, «оторванные» от основного сплава.

Эту проблему удалось решить путем добавления к расплаву свинца с цинком всего 2 масс.% олова. Этого количества олова достаточно почти для полного прекращения процесса разрушения твердого сплава (рис. 8), а при добавлении 5% олова начинает преобладать процесс миграции легирующих компонентов и элементов-лидеров в железо-медный сплав (рис. 9).

Полученные результаты можно объяснить следующим образом. Строго говоря цинк не полностью удовлетворяет требованиям к элементу «лидеру» по отношению к меди, поскольку при температуре легирования 800 °C он не может раствориться в меди до солидусной концентрации, а повышение температуры легирования невозможно из-за испарения цинка. Олово, добавленное в расплав при данной температуре, избирательно диффундирует из расплава в медь, насыщая ее до солидусной концентрации и вызывая тем самым локальное оплавление меди. Наличие в расплаве цинка, активно растворяющемся в меди, несомненно, ускоряет этот процесс. Далее по жидким каналам медно-оловянно-цинкового расплава вглубь железо-медного сплава устремляется свинец, что хорошо видно на приведенных рисунках.

Таким образом, приведенная выше модель действия элемента-лидера не применима в отношении цинка для меди, что и подтверждает ее справедливость. Что касается медных сплавов,

то, по-видимому, в каждом конкретном случае необходимо анализировать соответствующую тройную диаграмму. Совместное действие олова и цинка нуждается в уточнении модели.

Заключение

В работе была уточнена физическая модель действия элемента-лидера в процессе поверхностного контактного легирования из двухкомпонентных расплавов. Рассмотренная модель полностью подтверждается на примере системы сплав Д16 – расплав олово-цинк в отношении цинка, как элемента-лидера.

В ходе исследований было выяснено, что модель действия элемента-«лидера» не применима в отношении цинка для меди. Контактное легирование из трехкомпонентного расплава (в частности, из расплава свинец-цинк-олово) нуждается в уточнении модели.

Список литературы

1. Авраамов Ю.С., Шляпин А.Д. Сплавы на основе систем с ограниченной растворимостью в жидком состоянии. – М: Интернаука, 2002. – 371 с.
2. Авраамов Ю.С., Шляпин А.Д. Теоретические основы, технология и свойства сплавов на основе несмешивающихся компонентов: учеб. пособ. – М.: МГИУ, 2002. – 376 с.

Материал поступил в редакцию 11.01.2010

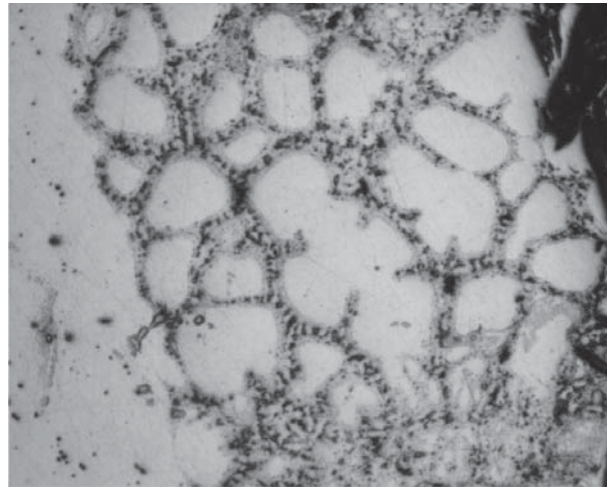


Рис. 6. Микроструктура поверхностного слоя в сплаве Д16, полученного контактным легированием из расплава олова и цинка

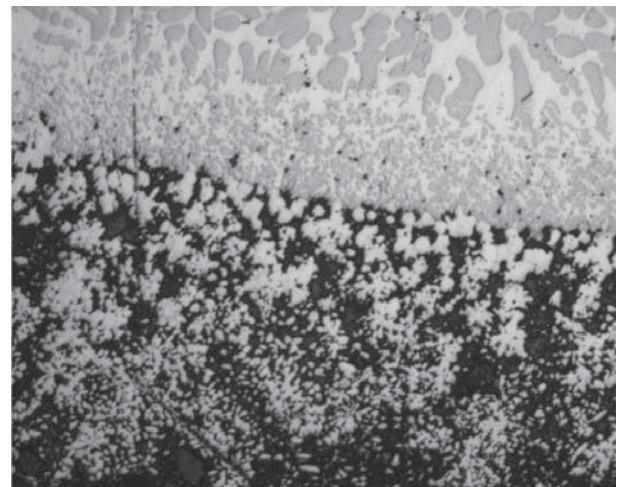


Рис. 7. Зона контактного взаимодействия расплава Pb-15%Zn, 800 °C, 30 минут

**АВРААМОВ
Юрий Серафимович**

E-mail: ashliapin@list.ru
Тел. 8(495)675-61-92

Доктор технических наук, профессор, президент ГОУ МГИУ, заслуженный деятель науки РФ. Вице-президент Международной академии менеджмента, академик международной академии наук Высшей школы, академик международной академии транспорта, член международного союза экономистов. Область научных интересов – металловедение, физика металлов и композиционных материалов. Автор и соавтор более 300 научных трудов, в том числе 40 авторских свидетельств на изобретение и 8 монографий.

**КОШКИН
Валерий
Иванович**

E-mail: koshkin@msiu.ru
Тел. 8(495)620-39-68

Доктор физико-математических наук, профессор. Профессор кафедры материаловедения и ТКМ ГОУ МГИУ. Область научных интересов – физическое материаловедение. Автор более 50 научных трудов.

**КРАВЧЕНКОВА
Ирина
Александровна**

E-mail: iri540@yandex.ru
Тел. 8(495)620-39-68

Заведующая межкафедральной лабораторией материаловедения в машиностроении МГИУ. Соискатель кафедры материаловедения и ТКМ ГОУ МГИУ. Область научных интересов – материаловедение и композиционные материалы. Автор (соавтор) 4 научных трудов.

**КРАВЧЕНКОВ
Антон Николаевич**

E-mail:
akravchenkov64@yandex.ru
Тел. 8(495)620-39-68

Аспирант кафедры материаловедения и ТКМ МГИУ. Область научных интересов – металловедение и композиционные материалы. Автор (соавтор) 6 научных трудов.

**ШЛЯПИН
Анатолий
Дмитриевич**

E-mail: ashliapin@list.ru
Тел. 8(495)675-61-92

Доктор технических наук, профессор. Проректор по научной работе МГИУ, заведующий кафедрой материаловедения и ТКМ МГИУ. Область научных интересов – металловедение, физика металлов и композиционных материалов. Автор и соавтор более 130 научных работ, из них 7 монографий, 35 авторских свидетельств и патентов.